

Доктор техн.наук, проф. В.Д. Данович, доктор техн.наук, проф. М.Л. Коротенко, канд.техн.наук С.В. Мямлин, Л.А. Недужая (ДИИТ)

МАТЕМАТИЧЕСКАЯ МОДЕЛЬ ПРОСТРАНСТВЕННЫХ КОЛЕБАНИЙ ЭЛЕКТРОВОЗА С МОДЕРНИЗИРОВАННОЙ СХЕМОЙ СОЕДИНЕНИЯ КУЗОВА С ТЕЛЕЖКАМИ

Наведено математичну модель просторових коливань магістрального вантажного електровоза з нетрадиційною схемою ресорного підвішування. Обрано розрахункову схему, визначено кількість ступенів свободи системи, за допомогою рівнянь Лагранжа другого роду одержано диференціальні рівняння руху механічної системи "екіпаж-колія".

The mathematical model of space oscillations of a turnpike cargo electric locomotive with the non-traditional scheme gear of suspension is indicated. The settlement scheme is selected, the amount of degree of freedoms of a system is determined, with help of equations of the Lagrange of the second kind the differential equations of movement of a mechanical system "vehicle - track" are obtained.

На грузовых электровозах (ВЛ80, ВЛ10 и др.) широко распространена конструкция люлечного подвешивания, в которой совмещены функции люльки и упругого элемента вертикальной связи кузова с тележками [1]. Такая конструкция достаточно компактна, но недостаточно надежна в эксплуатации [2]. При проектировании нового электровоза ДЭ1 УЭлНИИ предложил схему опирания кузова на тележки, имеющую промежуточные балки, с которыми связан кузов люлечными подвесками. Промежуточные балки при помощи пружин, воспринимающих вертикальную нагрузку, опираются на рамы тележек. Помимо этого, рассматриваемая конструкция отличается от известных (ВЛ80, ВЛ10) тем, что связь кузова и тележек в продольном направлении осуществляется при помощи наклонных тяг. В настоящей статье приводится математическая модель пространственных колебаний электровоза, имеющего отмеченные выше особенности конструкции (рис. 1).

При обычных допущениях [3, 4] электровоз рассматривается как механическая система, состоящая из 15 твердых тел: кузова, двух рам тележек, четырех соответственно промежуточных балок, тяговых электродвигателей (ТЭД) и колесных пар - и восьми масс пути, приведенных к точкам контакта колес с рельсами, которые перемещаются в вертикальном и горизонтальном поперечном направлениях.

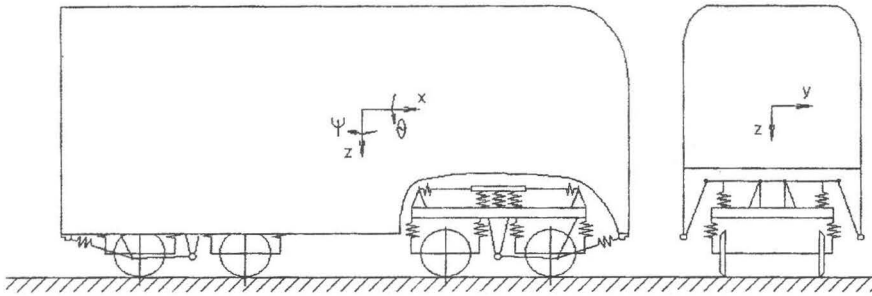


Рис. 1. Расчетная схема электровоза

Обозначим через x, y, z перемещения тел вдоль координатных осей, а через θ, ϕ, ψ – углы поворота относительно указанных осей. Положительные линейные перемещения – вдоль соответствующих осей, положительные угловые перемещения – против часовой стрелки, если смотреть с положительного направления соответствующей оси. В дальнейшем без индексов обозначены перемещения кузова, с индексом i ($i = 1, 2$ – номер тележки) – рам тележек, с индексом pik – промежуточных балок, с индексом im ($m = 1, 2$ – номер колесной пары в тележке) – колесных пар, с индексом dim – ТЭД, с индексом rk – приведенных масс пути ($k = 1$ – с левой стороны по ходу движения электровоза, $k = 2$ – с правой стороны).

Уравнения связей, наложенных на тела системы, имеют следующий вид.

Кузов и промежуточные балки в вертикальном направлении связаны так, что

$$z_{nik} + (-l)^k (b_{to} - b_{cn}) \theta_{nik} = z + (-l)^k b_{ko} \theta, \quad \phi_{nik} = \phi, \quad (1)$$

где $2b_{to}$ – расстояние в поперечном направлении между точками крепления промежуточных балок к раме тележки, $2b_{ko}$ – то же к кузову люлечных подвесок, b_{cn} – расстояние в поперечном направлении от центра масс промежуточной балки до точки ее крепления к тележке.

Связи между промежуточными балками и рамой тележки таковы, что при вертикальных и горизонтальных поперечных перемещениях:

$$z_{nik} - (-l)^k b_{cn} \theta_{nik} = z_i, \quad y_{nik} = y_i, \quad (2)$$

$$x_{nik} = x_i - (-l)^k \phi_i (b_{to} + b_{cn}), \quad \phi_{nik} = \phi_i. \quad (3)$$

На ТЭД и колесные пары тележек наложены связи, препятствующие взаимным перемещениям во всех направлениях, кроме галопирования ТЭД, то есть

$$x_{dim} = x_{im}, \quad y_{dim} = y_{im} + (-1)^m l_u \phi_{im}, \quad (4)$$

$$z_{dim} = z_{im} - (-1)^m l_u \phi_{dim}, \quad \theta_{dim} = \theta_{im}, \quad \phi_{dim} = \phi_{im},$$

где l_u - расстояние в продольном направлении между центрами масс колесной пары и якоря ТЭД.

Колеса движутся без проскальзывания (они принимаются во внимание при определении сил псевдоскольжения)

$$\phi_{im} = x_{im}/r \quad (5)$$

и без отрыва от рельсов

$$z_{pimk} = z_{im} + (-1)^k b_2 \theta_{im} + \Delta r_{imk} - \eta_{imk}, \quad (6)$$

где $2b_2$ - расстояние в поперечном направлении между кругами катания колес.

Итак, число уравнений связей равно 56 и система имеет $15 \cdot 6 + 2 \cdot 8 - 56 = 50$ степеней свободы.

Обобщенные координаты (без координат приведенных масс рельсов в горизонтальной плоскости) выражаются через перемещения тел следующими соотношениями:

$$\begin{aligned} q_1 &= z, \quad q_2 = \varphi, \quad q_3 = \theta, \quad q_4 = y, \quad q_5 = \phi \quad - \text{перемещения кузова,} \\ q_6 &= z_i \quad (n=6,7), \quad q_7 = \varphi_1 \quad (n=8,9), \quad q_8 = \theta_i \quad (n=10,11), \\ q_9 &= y_i \quad (n=12,13), \quad q_{10} = \phi_i \quad (n=14,15) \quad - \text{перемещения рам тележек,} \\ q_{11} &= z_{im} \quad (n=16-19), \quad q_{12} = \theta_{im} \quad (n=20-23), \\ q_{13} &= y_{im} \quad (n=24-27), \quad q_{14} = \phi_{im} \quad (n=28-31) \quad - \text{перемещения колесных пар,} \\ q_{15} &= x_i \quad (n=32,33), \quad q_{16} = x_{im} \quad (n=34-37), \quad q_{17} = x \quad - \text{подергивания тел,} \\ q_{18} &= \phi_{dim} \quad (n=39-42) \quad - \text{продольная качка ТЭД.} \end{aligned} \quad (7)$$

Кинетическая энергия системы найдена как сумма кинетических энергий всех тел [1]

$$T = T_o + T_p + T_B + T_k + T_D + T_n, \quad (8)$$

где T_o , T_p , T_B , T_k , T_D , T_n - кинетические энергии соответственно кузова, рам тележек, промежуточных балок, колесных пар, ТЭД, приведенных масс рельсов в точках контакта. Здесь

$$T_o = \frac{1}{2} m (x^2 + y^2 + z^2) + \frac{1}{2} I_x \dot{\theta}^2 + \frac{1}{2} I_y \dot{\varphi}^2 + \frac{1}{2} I_z \dot{\phi}^2, \quad (9)$$

$$T_p = \sum_{i=1}^2 T_{pi} = \frac{1}{2} \sum_{i=1}^2 [(m_T + 2m_D l_{ui}/l_D)(x_i^2 + y_i^2 + z_i^2) + I_{Tx} \dot{\theta}_i^2 + (I_{Ty} + 2m_D l_{ui}/l_D * l_n^2) \dot{\varphi}_i^2 + (I_{Tz} + 2m_D l_{ui}/l_D * l_n^2) \dot{\phi}_i^2], \quad (10)$$

$$+ (I_{Tz} + 2m_D l_{ui}/l_D * l_n^2) \dot{\phi}_i^2],$$

$$T_B = \sum_{i=1}^2 \sum_{k=1}^2 T_{Bik} = \frac{1}{2} \sum_{i=1}^2 \left\{ m_n [2x_i^2 + 2y_i^2 + 2(I - \frac{b_{en}}{b_n})^2 z_i^2] + 2 \frac{I_{nx}}{b_n^2} z_i^2 + 2I_{nz} \dot{\phi}_i^2 \right\} +$$

$$+ \frac{1}{2} \left[\frac{4}{b_n^2} (m_n b_{cn}^2 + I_{nx}) z^2 + \frac{4}{b_n^2} (b_{ko}^2 - h_{ko} \operatorname{tg} \delta_0)^2 (m_n b_{cn}^2 + I_{nx}) \dot{\theta}^2 + 4I_{nz} \dot{\phi}^2 \right] + (11)$$

$$+ \frac{2}{b_n} [m_n (1 - \frac{b_{cn}}{b_n}) b_{cn} - \frac{I_{nx}}{b_n}] z (\dot{z}_1 + \dot{z}_2),$$

$$T_k = \sum_{i=1}^2 \sum_{k=1}^2 T_{kim} = \frac{1}{2} \sum_{i=1}^2 \sum_{k=1}^2 [(m_k + m_a (l_a - l_u) / l_a) (x_{kim}^2 + y_{kim}^2 + z_{kim}^2) + \frac{I_{ky}}{r^2} x_{im}^2 + (I_{kx} + I_{ax}) \dot{\theta}_{im} + (I_{kz} + I_{az} + (m_k + m_a (l_a - l_u) / l_a) a_{dk}^2) \dot{\phi}_{im}^2 - 2(-1)^m (m_k + m_a (l_a - l_u) / l_a) a_{dk} y_{im} \dot{\phi}_{im}], \quad (12)$$

$$T_d = \sum_{i=1}^2 \sum_{m=1}^2 T_{dim} = \frac{1}{2} \sum_{i=1}^2 \sum_{m=1}^2 [(m_a (l_a - l_u) l_u^2 / l_a + I_{ay}) \dot{\phi}_{dim}^2 - 2(-1)^m m_a (l_a - l_u) l_u / l_a z_{im} \dot{\phi}_{dim}], \quad (13)$$

$$T_p = \sum_{i=1}^2 \sum_{m=1}^2 T_{pim} = \frac{1}{2} \sum_{i=1}^2 \sum_{m=1}^2 m_z [2 z_{im}^2 + (\operatorname{tg}^2 \alpha_{im1} + \operatorname{tg}^2 \alpha_{im2}) y_{im}^2 + (b_{im1}^2 + b_{im2}^2) \dot{\theta}_{im}^2], \quad (14)$$

где $I_x, I_y, I_z, I_{Tx}, I_{Ty}, I_{Tz}, I_{Px}, I_{Py}, I_{Pz}, I_{Kx}, I_{Ky}, I_{Kz}, I_{Dx}, I_{Dy}, I_{Dz}$, m, m_t, m_n, m_k, m_d - моменты инерции и массы соответственно кузова, рамы тележки, промежуточной балки, колесной пары, ТЭД; l_d - расстояние в продольном направлении между центром масс колесной пары и осью маятниковой подвески ТЭД, $b_{imk} = (-1)^k b_2 - r \operatorname{tg} \alpha_{imk}$; m_z - приведенная масса пути; r - радиус колеса по кругу катания; α_{imk} - угол наклона плоскости, касательной к поверхности катания колеса в точке контакта.

Общее выражение для кинетической энергии имеет вид

$$T = \frac{1}{2} [a_z z^2 + a_\phi \dot{\phi}^2 + a_\theta \dot{\theta}^2 + a_y y^2 + a_\psi \dot{\psi}^2 + a_x x^2 + \sum_{i=1}^2 (a_{xi} x_i^2 + a_{zi} z_i^2 + a_{\phi i} \dot{\phi}_{im}^2 + a_{\theta i} \dot{\theta}_{im}^2 + a_{yi} y_i^2 + a_{\psi i} \dot{\psi}_{im}^2) + \sum_{i=1}^2 \sum_{m=1}^2 (a_{zim} z_{im}^2 + a_{\theta im} \dot{\theta}_{im}^2 + a_{yim} y_{im}^2 + a_{\phi im} \dot{\phi}_{im}^2 + a_{xim} x_{im}^2 + a_{\psi dim} \dot{\psi}_{dim}^2)] + \sum_{i=1}^2 \sum_{m=1}^2 (a_{yim} \dot{y}_{im} \dot{\phi}_{im} + a_{zim} \dot{z}_{im} \dot{\phi}_{dim}), \quad (15)$$

где $a_z, a_\phi, a_\theta, a_y, a_\psi, a_x, a_{yi}, a_{xi}, a_{zi}, a_{\phi i}, a_{\theta i}, a_{\psi i}, a_{xim}, a_{\phi im}, a_{\theta im}, a_{yim}, a_{\psi dim}, a_{xim}, a_{\phi dim}, a_{\theta dim}, a_{ydim}$ - инерционные коэффициенты.

Обобщенные силы определяются как коэффициенты при вариациях обобщенных координат в соответствующих выражениях возможной работы.

Силы взаимодействия между колесами и рельсами в горизонтальной плоскости определяются по теории Картера.

После подстановки выражений кинетической энергии и обобщенных сил в уравнения Лагранжа второго рода получены следующие дифференциальные уравнения движения системы:

$$a_z \ddot{q}_1 + \sum_{i=1}^2 \sum_{m=1}^2 \sum_{k=1}^2 (S_{kzimk}^0 + S_{kzimk}^a) + \sum_{i=1}^2 S_{Tzi} + \sum_{i=1}^2 \sum_{k=1}^2 (S_{kziok}^0 + S_{kziok}^a) = 0, \quad (n = 1)$$

$$a_{\phi} \ddot{q}_2 + \sum_{i=1}^2 \sum_{m=1}^2 \sum_{k=1}^2 (-1)^i \{ [1 + (-1)^{i+m} a_n] S_{kzimk}^0 + [1 + (-1)^{i+m} a_n] S_{kzimk}^{\alpha} \} + \\ + \sum_{i=1}^2 \sum_{k=1}^2 (-1)^i I(S_{kzio_k}^0 + S_{kzio_k}^{\alpha}) + \sum_{i=1}^2 \sum_{m=1}^2 \sum_{k=1}^2 (h_{ko} S_{kximk}^0 + h_{ko} S_{kximk}^{\alpha}) + \\ + \sum_{i=1}^2 (-1)^i (h_k S_{Txi} + l_k S_{Tzi}) - h_a S_3 = 0, \quad (n = 2)$$

$$a_{\theta} \ddot{q}_3 + \sum_{i=1}^2 \sum_{m=1}^2 \sum_{k=1}^2 \{ (-1)^k [(b_{ko} - h_{ko} \operatorname{tg} \delta_0) S_{kzimk}^0 + b_{k\alpha} S_{kzimk}^{\alpha}] - h_{ka} S_{kyimk}^{\alpha} \} + \\ + \sum_{i=1}^2 \sum_{k=1}^2 \{ (-1)^k [(b_{ko} - \operatorname{tg} \delta_0) S_{kzio_k}^0 + b_{k\alpha} S_{kzio_k}^{\alpha}] - h_{kd} S_{kyio_k}^{\alpha} \} - h_k \sum_{i=1}^2 S_{Tyi} + \\ + \sum_{i=1}^2 \sum_{k=1}^2 (-1)^k h_y S_{yik} = 0, \quad (n = 3)$$

$$a_y \ddot{q}_4 + \sum_{i=1}^2 \sum_{m=1}^2 \sum_{k=1}^2 [S_{kyimk}^0 + S_{kyimk}^{\alpha} + (-1)^k S_{kzimk}^0 \operatorname{tg} \delta_0] + \\ + \sum_{i=1}^2 \sum_{k=1}^2 [(-1)^k S_{kzio_k}^0 \operatorname{tg} \delta_0 + S_{kyio_k}^{\alpha}] - \sum_{i=1}^2 \sum_{k=1}^2 (-1)^k S_{yik} + \sum_{i=1}^2 S_{Tyi} = 0, \quad (n = 4)$$

$$a_{zi} \ddot{q}_n - \sum_{m=1}^2 \sum_{n=1}^2 (S_{kzimk}^0 + S_{kzimk}^{\alpha}) - \sum_{k=1}^2 (S_{kzio_k}^0 + S_{kzio_k}^{\alpha}) + S_{Tzi} + \\ + \sum_{m=1}^2 \sum_{k=1}^2 S_{Bzimk} + \sum_{m=1}^2 S_{Dzim} = 0, \quad (n = 5 + i)$$

$$a_{\phi} \ddot{q}_5 - \sum_{i=1}^2 \sum_{m=1}^2 \sum_{k=1}^2 \{ (-1)^k (-1)^i [l + (-1)^{i+m} a_n] \operatorname{tg} \delta_0 S_{kzimk}^0 + (-1)^i [l + (-1)^{i+m} a_n] S_{kyimk}^0 + \\ + (-1)^k b_{ko} S_{kximk}^0 + (-1)^i [l + (-1)^{i+m} a_d] S_{kyio_k}^{\alpha} + (-1)^k b_{kd} S_{kximk}^{\alpha} \} - \\ - \sum_{i=1}^2 \sum_{k=1}^2 l [(-1)^{k+i} \operatorname{tg} \delta_0 S_{kzio_k}^0 + (-1)^i S_{kyio_k}^{\alpha}] + \sum_{i=1}^2 (S_{k\phi_i}^0 + S_{k\phi_i}^{\alpha}) + \\ + \sum_{i=1}^2 \sum_{k=1}^2 (-1)^{i+k} l S_{yik} + \sum_{i=1}^2 (-1)^i l_k S_{Tyi} = 0, \quad (n = 5)$$

$$a_{\phi i} \ddot{q}_n - \sum_{m=1}^2 \sum_{k=1}^2 [(-1)^m (a_n S_{kzimk}^0 + a_n S_{kzimk}^{\alpha}) - (h_{To} S_{kzimk}^0 + h_{Td} S_{kzimk}^{\alpha})] - \\ - (-1)^i h_T S_{Txi} + (-1)^i l_T S_{Tzi} - (h_m - h) S_{mi} + \\ + \sum_{m=1}^2 \sum_{k=1}^2 [h_B S_{Bzimk} + (-1)^m l_S S_{Bzimk}] + \sum_{m=1}^2 (-1)^m l_n S_{Dzim} = 0, \quad (n = 7 + i)$$

$$\begin{aligned}
& a_{\phi i} q_n^{**} - \sum_{m=1}^2 \sum_{k=1}^2 [(-1)^k (b_n S_{kzimk}^0 + b_{T_A} S_{kzimk}^x) + h_{T_A} S_{kyimk}^x] - \sum_{k=1}^2 [(-1)^k (b_n S_{kziok}^0 + b_{T_A} S_{kziok}^x) + \\
& + h_{T_A} S_{kyiok}^x] + \sum_{k=1}^2 (-1)^k (h - h_y) S_{yik} - h_T S_{Tyi} - \sum_{m=1}^2 \sum_{k=1}^2 [h_s S_{ayimk} - (-1)^k (b_T - (-1)^k b_{ym}) - \\
& - S_{Eximk}] - \sum_{m=1}^2 (h_u S_{ayim} - b_{pm} S_{azim}) = 0, \quad (n = 9 + i) \\
& a_{yi} q_n^{**} - \sum_{m=1}^2 \sum_{k=1}^2 [(-1)^k \operatorname{tg} \delta_0 S_{kzimk}^0 + S_{kyimk}^0 + S_{kyimk}^x] - \sum_{k=1}^2 [(-1)^k \operatorname{tg} \delta_0 S_{kziok}^0 + S_{kyiok}^x] + \\
& + \sum_{k=1}^2 (-1)^k S_{yik} + S_{Tyi} + \sum_{m=1}^2 \sum_{k=1}^2 S_{Eyimk} + \sum_{m=1}^2 S_{Ayim} = 0, \quad (n = 11 + i) \\
& a_{\phi i} q_n^{**} + \sum_{m=1}^2 \sum_{k=1}^2 [(-1)^{k+m} a_n \operatorname{tg} \delta_0 S_{kzimk}^0 + (-1)^m a_0 S_{kyimk}^0 + (-1)^k b_{To} S_{kximk}^0 + (-1)^m a_x S_{kyimk}^x + \\
& + (-1)^k b_{T_A} S_{kximk}^x] + S_{kphi}^0 + S_{kphi}^x - (-1)^i S_{Tyi} l_T - \sum_{m=1}^2 \sum_{k=1}^2 [(-1)^k (b_i - (-1)^k b_{ym}) S_{Eximk} + \\
& + (-1)^m l_i S_{Eyimk}] + \sum_{m=1}^2 [S_{Bphiim} - (-1)^m l_n S_{ayim}] = 0, \quad (n = 13 + i) \\
& a_{zim} q_n^{**} + a_{zimphiim} q_{n+23}^{**} - \sum_{k=1}^2 S_{Bzimk} + S_{Jzimk} + \sum_{k=1}^2 S_{Rzimk} = 0, \quad (13 + 2i + m) \\
& a_{\phi im} q_n^{**} - \sum_{k=1}^2 (-1)^k (b_i - (-1)^k b_{ym}) S_{Bzimk} + \sum_{k=1}^2 [r T_{yimk} - r P_{cr} \operatorname{tg} \alpha_{imk} + \\
& + (-1)^k b_2 S_{Bzimk}] = 0, \quad (n = 17 + 2i + m) \\
& a_{yim} q_n^{**} + a_{yimphiim} q_{n+4}^{**} - \sum_{k=1}^2 S_{Eyimk} + S_{Ayim} + \sum_{k=1}^2 (T_{yimk} - P_{cr} \operatorname{tg} \alpha_{imk}) = 0, \quad (n = 21 + 2i + m) \\
& a_{\phi im} q_n^{**} + a_{\phi imyim} q_{n-4}^{**} + \sum_{k=1}^2 (-1)^k (b_i - (-1)^k b_{ym}) S_{Bzimk} + (-1)^m a_x S_{Eyimk} + \\
& + S_{Bphiim} + (-1)^m (l_x - a_x) S_{ayim} + \sum_{i=1}^2 (-1)^k (b_2 - (-1)^k b_{ym}) T_{ximk} = 0, \quad (n = 25 + 2i + m) \\
& a_{xi} q_n^{**} - \sum_{m=1}^2 \sum_{k=1}^2 (S_{kximk}^0 + S_{kximk}^x) + (-1)^i S_{Txix} + \sum_{m=1}^2 \sum_{k=1}^2 S_{Eximk} = 0, \quad (n = 31 + i) \\
& a_{xim} q_n^{**} - \sum_{k=1}^2 S_{Bximk} - 0.25 S_{xi} - \sum_{k=1}^2 T_{ximk} = 0, \quad (n = 31 + 2i + m) \\
& a_s q_{38}^{**} + \sum_{i=1}^2 \sum_{m=1}^2 \sum_{k=1}^2 (S_{kximk}^0 + S_{kximk}^x) + \sum_{i=1}^2 ((-1)^i S_{Txix}) + S_{xi} = 0, \quad (n = 38)
\end{aligned}$$

$$a_{\varphi, \text{dim}} \ddot{q}_n + a_{z, \text{dim}} \ddot{q}_{n-23} + (-1)^m l_d S_{\text{dim}} - F_{\text{dim}}(r_z + r_w) = 0, \quad (n = 36 + 2i + m),$$

где S_{krimk} ($r=x,y,z$) - силы, возникающие во второй ступени рессорного подвешивания; S_{brimk} ($r=x,y,z$) - силы, возникающие в буксовом подвешивании; S_{60} , S_{10} - силы, передающиеся в стационарном режиме через буксовые поводки и через наклонные тяги соответственно; S_z - силы тяги (торможения) электровоза; r_z - радиус зубчатого колеса; r_w - радиус шестерни; S_{ti} ($r=x,y,z$) - силы, возникающие в результате взаимных перемещений точек крепления наклонных тяг к кузову и к рамам тележек; S_{dim} ($r=y,z$) - силы в подвеске ТЭД; T_{rimk} ($r=x,y$) - силы, псевдоскольжения; F_{dim} - силы, возникающие в зацеплении между ведущей шестерней и зубчатым колесом; h - высота центра масс кузова над центром масс рамы тележки; h_{ko} , h_{kt} , h_{kd} , h_k , h_y , h_a - высота центра масс кузова соответственно над: точками крепления люлечных подвесок к кузову, точками крепления подвесок к промежуточным балкам (к раме), точками крепления к кузову гидроамортизаторов, точками крепления к кузову наклонной тяги, горизонтальной поперечной осью упругого упора, осью автосцепки; h_{to} - высота точек крепления к тележке люлечных подвесок над центром масс рамы тележки; h_{td} - высота точек крепления к тележке гидроамортизаторов; h_t , h_B , h_P - высота центра масс рамы тележки соответственно над: точкой крепления наклонной тяги к тележке, уровнем осей колесных пар, точкой крепления подвески ТЭД к раме тележки; $2l_1$ - база кузова; $2a_0$, $2a_d$, $2a_\pi$, $2l_k$, l_t , $2l_p$ - расстояние в продольном направлении соответственно между: точками крепления к кузову люлечных подвесок тележки, гидроамортизаторов, крайними пружинами одной тележки под промежуточной балкой, точками крепления к кузову наклонных тяг, центром тяжести рамы тележки и точкой крепления наклонной тяги к тележке, осями маятниковой подвески ТЭД одной тележки; $2b_{kd}$, $2b_{td}$ - расстояние в поперечном направлении соответственно между точками крепления гидроамортизаторов к кузову и к раме тележки; δ_0 - угол наклона люлечной подвески к вертикали.

Полученная математическая модель была использована при определении рациональных параметров рессорного подвешивания электровоза ДЭ1 в процессе его проектирования. Проведенные после его изготовления динамические ходовые испытания показали, что данные расчетов, полученные с использованием приведенной математической модели, достаточно хорошо соответствуют результатам испытаний [5].

Список литературы

1. Магистральные электровозы: Общие характеристики. Механическая часть / В.И.Бочаров, И.Ф.Кодинцев, А.И.Кравченко и др. М.: Машиностроение, 1991. 224 с.

2. Механическая часть тягового подвижного состава: Учебник для вузов ж.-д.транспорта / И.В.Бирюков, А.Н.Савоськин, Г.П.Бурчак и др.М.: Транспорт, 1992.440 с.
3. Лазарян В.А. Динамика вагонов: Устойчивость движения и колебания. М.: Транспорт, 1964.256 с.
4. Коротенко М.Л., Радченко Н.А. Сравнительная оценка электровозов различных конструкций с точки зрения устойчивости их невозмущенного движения. Киев: Наукова думка, 1973. 36 - 43 с.
5. Данович В.Д., Коротенко М.Л., Недужая Л.А. Сопоставление некоторых результатов экспериментальных и теоретических исследований динамических качеств электровоза ДЭ1 // Транспорт: Сб. науч. трудов. / Днепропетровск: ДИИТ, 1999. С. 123 - 129.